

九州大学 工学部 学生員・長野 紳一郎  
 正員 神野 健二  
 正員 上田 年比古

## まえがき

これまで多くの研究者が、3過工程を数学的に表現しようと試みたが、懸濁物除去の諸機構が複雑で未だ有用な数学的表現を見出すには至っていない。これは懸濁粒子の移動、抑留の機構が十分把握されていないことが原因の一因といえよう。本報では、3過の進行と流れの場との相互関係を調べるために、図-1に示すように二枚の板に砂粒子をはりつけた間に懸濁物質を流し、この平行板モデルによるフロック抑留機構の解析と実験を行なった。

## 1. 基礎式

まず水流については、連続の式： $\frac{\partial}{\partial x}(\bar{U} \cdot \delta) = 0 \dots \dots \dots (1)$

運動方程式：平行板間の層流の式から  $\bar{U} = \frac{1}{2\mu} \cdot \frac{\partial p}{\partial x} \cdot (x^2 - \frac{\delta^2}{4}) \dots \dots \dots (2)$

したがって  $\bar{U} = -\frac{1}{12\mu} \cdot \frac{\partial p}{\partial x} \cdot \delta^2 \dots \dots \dots (3)$  ここに  $\bar{U}$ ： $x$  方向の実流速、 $\delta$ ：流路幅

$\bar{U}$ ： $x$  方向の平均流速、 $\bar{U} = \frac{1}{\delta} \int_0^\delta \bar{U} dx$   $\mu$ ：水の粘性係数、 $p = P - \rho g y \dots \dots \dots (4)$

$P$ ：動水圧、 $\rho$ ：水の密度、 $g$ ：重力加速度。

次に3過方程式について考える。水質の連続の式：物理生態学における出生死滅過程の考え方<sup>1)</sup>より、 $\frac{DC}{DT} = -\lambda \cdot C = -\lambda_0 \cdot (1 + \beta_1 n) \cdot (1 - \beta_2 n) \cdot C \dots \dots \dots (5)$  とする。

また物質収支の式： $(1 - f_0) \cdot \frac{\partial n}{\partial t} = -\frac{DC}{DT} \dots \dots \dots (6)$  ここに  $C$ ：懸濁物体積濃度、 $\lambda$ ：3過効率、 $\lambda_0$ ：初期3過効率、 $n$ ：堆積量（3層の単位体積当りの押留堆積量）、 $\beta_1, \beta_2$ ：定数、 $f_0$ ：砂面に堆積した押留物の空隙率。 $\lambda_0 \cdot (1 + \beta_1 n)$  は、懸濁粒子の抑留の進行につれ3過効率が増加することを示す項で、平行板モデルでは、Interception効果によるものと考えられる。Interception効果とは、 $Yao^2$  うがのべているように図-2に示す3材粒子から懸濁粒子の半径内の距離に選ばれてくる懸濁粒子はすべて抑留されるという考え方による抑留効果である。したがって平行板による3過では、 $\lambda_0 \cdot (1 + \beta_1 n) = 2 \cdot \frac{f_0}{d_0} \cdot \frac{1}{C} \cdot \int_{-\frac{C}{2}}^{\frac{C}{2}} \bar{U} \cdot C dx = \frac{1}{d_0} \cdot (\frac{f_0}{\delta})^2 \cdot (3 - 2 \frac{f_0}{d_0}) \cdot \frac{C}{2} \dots \dots \dots (7)$

とおける。ここに  $d_0$ ：砂粒子の平均径、 $f_0$ ：懸濁粒子の半径。次に(6)式の  $(1 - f_0 n)$  は、

懸濁粒子の抑留の進行に伴ない流路幅がせばまることにより、抑留物質に作用するせん断力増加による付着効率の減少効果と考えられる。したがってここでは、 $(1 - f_0 n) = 1 - \frac{C - C_0}{C_0 - C_0} \dots \dots \dots (8)$

とおくことにする。ここで  $C_0$  は、懸濁粒子の抑留が飽和に達した時に抑留物質に作用する限界せん断力

とおくこととする。ここで  $C_0$  は、懸濁粒子が抑留されていない時に平行板の壁に作用する初期せん断力で 図-2

あり、 $C_0$  は抑留が進行し流路幅が  $\delta$  になったある時刻の抑留物質に働くせん断力とする。 Interception効果

次に流路幅に関する式： $\delta = d_0 \cdot (1 - n) \dots \dots \dots (9)$   $d_0 \cdot (1 - n) \dots \dots \dots (10)$   $d_0$ ：懸濁粒子が抑留

されていない初期流路幅、 $n$ ：限界比堆積量、 $d_0$ ：抑留が飽和に達した時の限界流路幅。次に(9)式の  $C_0$  は、

(1), (2), (3)式より  $C_0 = \mu \cdot \frac{\partial U}{\partial x} |_{x=\frac{\delta}{2}} = \frac{\partial p}{\partial y} \cdot \frac{\delta}{2} = \frac{6\mu \bar{U} \delta^2}{C_0 - C_0} \dots \dots \dots (11)$  いま  $\bar{U} \cdot \delta = \text{const.}$  とすれば

$C_0 = \frac{1}{f_0} \dots \dots \dots (12)$  したがって  $\frac{1}{C_0 - C_0} = \left( \frac{d_0}{\delta} \right)^2 \frac{\delta^2 - d_0^2}{d_0^2 - d_0^2} \dots \dots \dots (13)$

したがって(5)式は(1), (8), (13)式を用いて

$\frac{DC}{DT} = -\frac{1}{D_0} \cdot \left( \frac{f_0}{\delta} \right)^2 \cdot (3 - 2 \frac{f_0}{d_0}) \cdot \bar{U} \cdot (1 - \frac{C - C_0}{C_0 - C_0}) \cdot C = -\frac{1}{D_0} \cdot \left( \frac{f_0}{\delta} \right)^2 \cdot (3 - 2 \frac{f_0}{d_0}) \cdot \bar{U} \cdot \int_1^C \left( \frac{d_0}{\delta} \right)^2 \frac{\delta^2 - d_0^2}{d_0^2 - d_0^2} \cdot C \dots \dots \dots (14)$

時刻  $t$ 、場所  $x$  の  $C$ 、 $n$  の計算は、まず実験により  $n$  を求め、初期条件として  $n = 0$  から出発して、(9)式から  $\delta$ 、(10)式から  $C$ 、(11)式から  $C_0$ 、(12)式から  $d_0$ 、(13)式から  $C$ 、(14)式から  $n$  が算定される。

## 2. 実験装置と方法

実験用3過筒は図-3のよう、長方形断面( $0.5\text{cm} \times 10\text{cm}$ )、高さ  $1.3\text{m}$  のアクリル製の筒を用いた。3材には

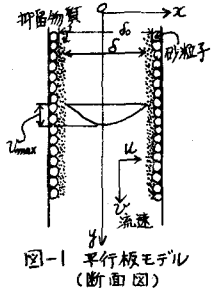


図-1 平行板モデル  
(断面図)

フルイ目 0.84~1.0mm 間の砂材を用い、それを断面の内側に長さ 1.0m にわたってはりつけた。ロックは学内水道水にカオリン 50ppm、硫酸バニード 15ppm、アルギン酸ソーダ 0.4ppm を添加し急速攪拌で形成させ、3過筒に流入させた。流入アロック径約 60μ であった。3過速度はバルブ①により変化させた。採水した3過水の濁度測定には積分球式濁度計を用いた。3過時の水温は 12~13°C であった。

### 3. 実験結果と考察

実験は  $\lambda$  を求めるため 10 分毎に図-3 に示す 5ヶ所から採水し濁度測定を行ない、この結果より  $f_0 = 0.8$  として(6)式から  $\lambda$  を求め、また(6)式の  $\frac{DC}{DT} = -\lambda \cdot C$  から  $\lambda$  を求めると、 $Q = 9 \text{ cm}^3/\text{sec}$  における  $\lambda$  との関係は図-4 となる。いまこの実験値の直線延長線上から  $\lambda = 0$  となる  $C$  を求めると  $C_0 = 0.023$  となる。

したがって、このとき砂粒子の平均径 & 0.092 cm とすると  $f_0 = 0.316 \text{ cm}$  となり、(10)式から  $f_c = 0.309 \text{ cm}$  となる。この実験結果をもとに数値計算を行なうと  $C_0 = 9\%$ 。 $C_0$ : 流入濁度濃度として 3過開始 40 分後の実験値と計算値を比較して図-5 をうる。この図から実験値と計算値はほぼ一致しており、したがって概算で求めた  $\lambda$  はほぼ妥当であると考えられる。しかし図-4 からもわかるように、 $\lambda = 0$  付近の実験値がないためこの値は不明確であり、さらに実験時間を長くして検討する必要がある。図-4 によると  $\lambda$  は  $C$  の増加につれて初期から減少する関数となっている。一般に入り  $\lambda$  も想定できるよう抑制の増加とともに初めは増加し、抑制がある程度進行するとせん断力の影響により減少するといわれていて、図-4 はこれと相違している。これについては本実験では、平行板間隔  $f_0 = 0.316 \text{ cm}$  で砂層間隔がかなり大きい場合など、いることになり  $\lambda$  の増加に寄与する Interception 効果が小さく、また 3過が大きいため減少を示す項  $(1 - \frac{C_0}{C_0 + C})$  の影響が強く、したがって Interception 効果を打消して当初から入が減少する結果になったもの

と考えられる。以上のように、本報では実験により限界比堆積量の  $\lambda$  を概算しきの値を用いて基礎式の解析の可能性を検討することを目的としたため、3過を変化させての実験数が不足している。今後は3過を変化させた実験を行なうとともに、攪拌条件、ロック径さらに砂層間隔  $f_0$  を変化させての実験を行ない、限界比堆積量の  $\lambda$  と流速との関係を求めるこにより、限界せん断力を検討することが必要であろう。また平行板にはりつけた砂粒子径  $D_s$  を変えたときに、抑制形態が変化して正しい解が得られるかどうかを調べることも必要と考える。

### 参考文献

- 1) E.C. Pielou (合田周平/藤村貞夫訳): "数理生態学" 産業図書
- 2) Kuan-Mu Yao: "Influence of suspended particle size on the transport aspect of water filtration" Ph.D.Thesis, University of North Carolina at Chapel Hill, 1968

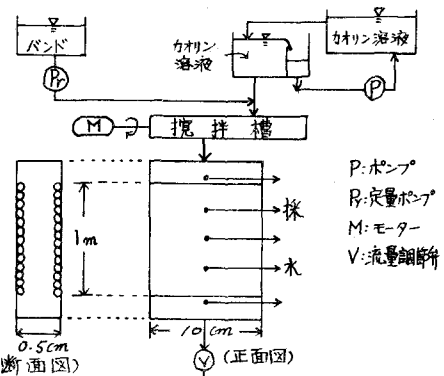


図-3 実験装置

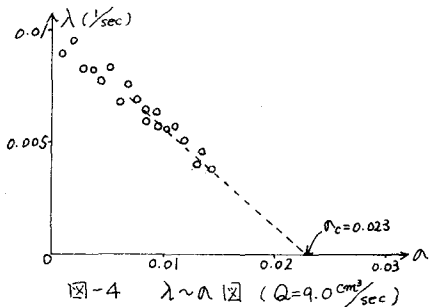


図-4  $\lambda$  への図 ( $Q = 9.0 \text{ cm}^3/\text{sec}$ )

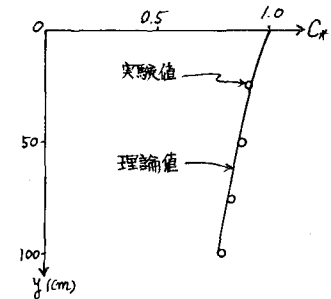


図-5  $t=40$  分の  $C_0$  への図